

نشأة رواسب الكاولين المكونة على صخور المتحولة غير المتجلانسة تمازيرت، الشقفة وال حاج على (شمال شرق الجزائر) - نموذجاً.

(2-1) بوقفة مشاطي (2-1). لعموري بشير
(2) بوعبسة لخضر (1). نتالي فاجل

(1) مختبر الجيوديناميكي والموارد الطبيعية (LGRN)، جامعة بادجي مختار، 23000 عنابة - الجزائر.

(2) مختبر الطين والجيوكيمياء والبيئات الرسوبية (AGEs) قسم الجيولوجيا، جامعة لييج، مقاطعة أغورا ، 14

B-4000 Liège –Belgium , Allée du six Août

Genesis of kaolin deposits developed on a heterogeneous metamorphic basement: Example of Tamazert, Chekfa and Hadj Ali (NE Algeria).

BOUKOFFA M^(1,2) ; LAMOURI B^(1,2) ; BOUABSA L⁽¹⁾ ; FAGEL N⁽²⁾

(1) Laboratoire de Géodynamique et Ressources Naturelles (LGRN), Université Badji Mokhtar,23000 Annaba-Algérie.

(2) UR Argile, Géochimie et Environnements Sédimentaires (AGEs). Département de Géologie, Université de Liège. Quartier Agora, 14 Allée du six Août, B-4000 Liège –Belgique.

الملخص (Abstract): تتشكل مرتفعات منطقة القبائل الصّغرى (شمال شرق الجزائر) من صخور القاعدة المتحولة غير المتجلانسة. هذه الصّخور تأثرت بالتغييرات المناخية في عصر الميوسين (Miocene) وهذا ما أدى إلى تطور عملية التجوية الكيميائية. التي أدت إلى تكوين معاطف الكاولينيت متمثلة في مناجم: تمازيرت، الشّقفة وال حاج على. وقد تم تحليل ناتج عملية التجوية والصّخرة الأمّمعدنيّاً بواسطة حيود الأشعة السّينيّة (DRX) وكيميائياً باستعمال الطّيف الدرّي المنبعث ICP-AES للعناصر الأساسية وتوصيله البلازميا المزدوجة ICP-MS للعناصر الثانويّة. التركيب المعدني في المناجم الثلاثة يتكون من الكاولينيت (20 إلى 78%), الكوارتز (05 إلى 23%) والمسكوفيت (8 إلى 61%). كما توجد معادن أخرى مثل (الكلورايت، الفلدسبات)، لكن بكميات ضئيلة.

الدراسة الجيوكيميائية للعناصر الأساسية لنواتج التجوية بين التّحلل الجزيئي للعناصر التّالية SiO_2 , CaO , MgO و إقصاء كلي لعنصر Na_2O , مما أدى إلى زيادة تركيز البوتاسيوم والألومنيوم K_2O و Al_2O_3 وأن نسبة Fe_2O_3 تتغير من موقع إلى آخر.

بعض العناصر الثانويّة (Cr , Zr , Ba , Sr , V , Nb , Rb , U) تستعمل للتّمييز بين أصول الكاولينيت النّاتجة عن التّغييرات المتّيورولوجية (altération météorique) أو التجوية بالمحاليل الساخنة (altération hydrothermale). كذلك فإنّ أطيااف العناصر النّادرة (REE) تدل على إثراء كلي لناتج التجوية في الواقع الثلاثة. تعتبر العناصر النّادرة الخفيفة (LREE) بمعدل عام 33 ppm ثريّة في كل

العينات مقارنة بالعناصر النادرة الثقيلة (HREE) (La/Yb_{N}) بمعدل 2.5 ppm. الاستثناء السلي لعنصر europium (Eu) يخص كل العينات. أما نسبة (La/Yb) المعدلة بواسطة الكوندريت (C1) المسمى ضعيفة ($8.37 < \text{La/Yb}_{\text{N}} < 20.98$) مقارنة بالصخرة الأم (22)، باستثناء بعض العينات في موقع الحاج علي ($27 < \text{La/Yb}_{\text{N}} < 25$). نتائج التحاليل المعدنية والكيميائية والتقييم الجيوكيميائي واللاحظات الميدانية، بينت علاقة النّشأة بين مناجم الكاولينيت الثلاثة (تمازيرت . الشّففة والجاج على). هذه المناجم ذات أصول مختلطة حدثت لها تجوية خارجية وداخلية (hypogène) مع أسبقية التجوية الخارجية (supergène).

الكلمات المفتاحية: جيوكيمياء، التجوية الكيميائية، القبائل الصغرى، الكاولن، منجم، الجزائر.

Abstract:

Chemical weathering of heterogeneous rocks of Lesser Kabylian massif (NE Algeria), are influenced by climatic disturbances during the Miocene. This chemical weathering led to the development of kaolin deposits, such as in (Tamazert, Chekfa and Haj Ali). The products of weathering and the fresh rock were subject to mineralogical analysis by X-ray diffraction and chemically by inductively coupled plasma spectrometry (ICP/AES) for detecting major elements, and (ICP/MS) for determining trace elements. Mineralogical composition of weathering product in the three studied sites, showed the dominance of kaolinite (20% à 78%), beside quartz (5% à 23%) and illite/muscovite (8% à 61%). Other accessory minerals such as chlorite, plagioclase, feldspars are also present, but in small quantities. The geochemical evaluation of major and trace elements in the weathering product, shows leaching of (SiO_2 , CaO , MgO and Na_2O) and enrichment of K_2O and Al_2O_3 . However, behavior of Fe_2O_3 , is different from one site to another. Trace elements have been enriched in the majority of samples of the three profiles. Some trace elements (Cr, Zr, Ba, Sr, V, Nb, Rb, and U) are used to discriminate the hypogen or supergen origin of kaolin. The REE show enrichment in the weathering product of the three profiles, LREE are more enriched in most samples, relatively to HREE. The significant negative anomaly of europium (Eu) characterizes all samples. The (La / Yb)_N is slightly compared to the parent rock with the exception of some samples of Haj Ali site, where it show high concentrations. Field observations and mineralogical- geochemical studies, show that the kaolin deposits of (Tamazert, Chekfa and

Haj Ali) are genetically linked, and having a mixed origin (hypogene and supergene), with the predominance of supergene origin in most studied samples.

Keywords: Geochemistry, Chemical weathering, Kaolin, Lesser Kabylie, Deposit, Algeria.

1-المدخل (Introduction): تخضع الصخور العلوية للقشرة القارية لعمليات تجوية مختلفة (فيزيائية وكيميائية) ويعتبر مناخ المنطقة المعنية بالدراسة متغيراً مهماً في عملية التجوية. بالإضافة إلى عوامل أخرى أكثر محلية، كطوبوغرافية المنطقة والمكونات المعدنية وكيمياء الصخور المتواجدة في منطقة الدراسة. هذه العوامل مجتمعة تؤثر على درجة تجوية الصخور ونواتجها (Nesbitt et Young, 1982 ; White et Blum, 1995).

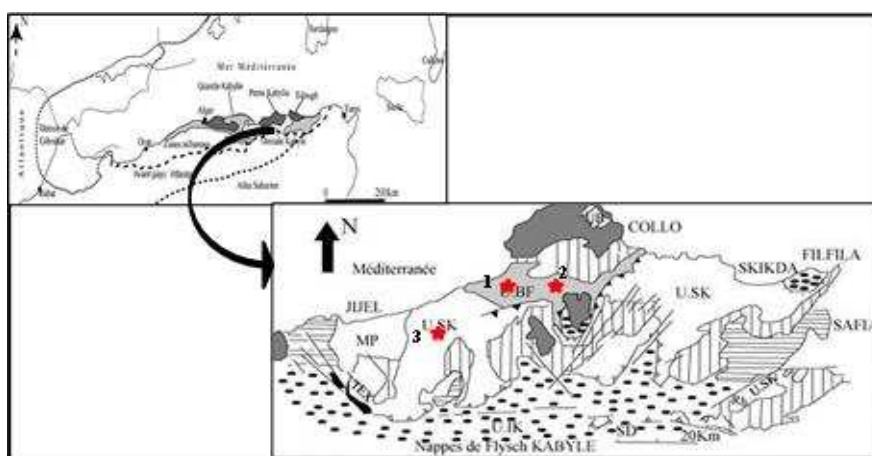
تؤدي عملية التجوية الكيميائية إلى تحلل المعادن الأولية للصخرة الأم، وتتراكم نواتج التجوية عليها حيث يتم انتقال جزء من نواتج التجوية نحو البحار والمحيطات (Windom, 1976) أما الجزء الأكبر منها فتفضل فوق الصخرة الأم (*in situ*) حيث تكون معاطف التجوية. في أثناء التجوية الكيميائية تقصى العناصر القلوية والقلويات الأرضية بكل سهولة من المعادن الأولية (Nesbitt et al., 1980 ; Nesbitt et Wilson, 1992 ; Nesbitt et Markovics, 1997) على العكس تبقى العناصر الكيميائية التي تشكل المعادن المقاومة ثابتة (Nesbitt et Markovics, 1997). يتم بقاء العناصر مثل الألومنيوم والحديد والتitanium Al, Fe et Ti في ناتج التجوية وتحتل مع عناصر أخرى لتكوين معادن ثانوية. وقد سبقت الإشارة إلى سلوك العناصر النادرة (REE) أثناء عملية التجوية في بحوث كثيرة (Nesbitt, 1997 ; Duddy, 1980 ; Banfield et Eggleton, 1989 ; Marsh, 1991 ; Price et al., 1991 ; Cagianelli et al., 1992 ; Nesbitt et Wilson, 1992 ; Braun et al., 1993, 1998 ; Mongelli, 1993 ; Boulagne et Colin, 1994 ; Condie et al., 1995 ; Nesbitt et Markovics, 1997 ; Hill et al., 2000)، عموماً، تتحرك العناصر النادرة في أثناء عملية التجوية الكيميائية، ويتغير إعادة توزيعها حسب طبيعة التجوية وشدةها.

الهدف من هذا العمل هو التعرف على أصول ثلاثة من رواسب الكاولن في الشمال الشرقي الجزائري. هذه الرواسب مرتبطة مكانيًا ونشأة مع التكوين التحولي لمرتفعات القبائل الصغرى. وتهدف الدراسة إلى بحث إعادة توزيع العناصر الثانوية (العناصر نادرة) كدليل لأصول السوائل في التجوية.

2. الإطار الجغرافي:

رواسب الكاولن في ثلاثة مناجم تقع في الشمال الشرقي الجزائري (الشكل 1)، يقع منجم تمازيرت على بعد 17 كم شمال مدينة الميلية (غرب جيجل). يبعد منجم الحاج علي، 14 كم عن مدينة عين قشرة (غرب سكيكدة). في حين يقع منجم الشقة على بعد 23 كم شرق جيجل.

من الناحية الجيولوجية، تعتبر هذه المناجم تابعة لمرتفعات القبائل الصغرى التي تمتد على طول سواحل البحر الأبيض المتوسط حوالي 150 كم بين منطقة جيجل من الغرب إلى مرتفعات جبل فيلفلة (سكيكدة) من الشرق، مع امتداد شمال-جنوب 50 كم. تعتبر كتلة جبال القبائل الصغرى هي الأضخم من بين الكتل الأخرى المشكّلة للساحل الجزائري (الشكل 1). الخصائص التشكيلية الكبيرة لهذه المنطقة تمت دراستها من قبل (Bouillin, 1977). تقع مناجم تمازيرت، الشّففة و الحاج علي بالتحديد في وحدة بني فرقان. هذه الوحدة تتكون من تراكم ثلاث وحدات فرعية متوضعة من الأعلى إلى الأسفل كالتالي. البارا غنيس (paragneiss) للوحدة الفرعية العلوية، تتقاطع بواسطة قواطع (filons) الأمفيبولييت (amphibolites)، الوحدة الفرعية الوسطى ميتا بيليتية، (métapélitique) الوحدة الفرعية السفلية تتكون من تتابع الميتا بليت و عدسات البيروكسينيت، غرانيت و البنبيت (leptynite). هذه الوحدة مغطاة من ناحية الشمال بمكونات النوميديا، الأولغوميوسين القبائلي (OMK) و الأوليستوستروم دو فليش (olistostromes de flysh).



الشكل 1:

الموقع الجيولوجي والهيكل لكتلة القبائل الصغرى في المنطقة المغاربية الداخلية (D.M Durand, 1969; J. M. Vila, 1980). (1) تمازيرت (2) الحاج علي (3) الشّففة

Fig.1. Geological and structural position of the lesser kabylian massif in internal Maghreb

: Tamazert, (2): Hadj Ali; (3): Chekfa area (D.M Durand, 1969; J. M. Vila, 1980). (1)

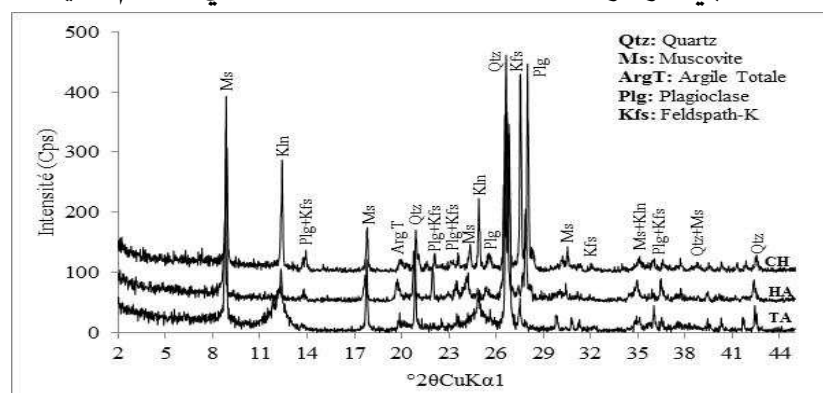
3 المُواد والطُرائق (Materials and methods):

تم جمع العينات المستخدمة في هذه الدراسة من مناجم الكاولن الواقعة شمال شرق الجزائر. تمازيرت (06 عينات)، الشّففة (03 عينات) والجاج علي (05 عينات) حسب خط شمال-جنوب. تمت التحاليل الكيميائية في مركز البحث (CRPG -CNRS Nancy, France). والتحاليل المعدنية في مختبر الطين، الجيوكيمياء والبيانات الروسوبية بجامعة لييج (بلجيكا) (Argiles, Géochimie et Environnements sédimentaires, AGeS).

مطياف من نوع (Bruker D8 Advance) يستعمل إشعاع ($\text{Cu K}\alpha 1, \lambda = 1.5418$), التحاليل المعدنية الكلية والجزئية ($\text{Fraction} < 2\mu\text{m}$) في نفس الشروط المعتادة ($40\text{kv}, 30\text{mA}, 2\theta - 45^\circ$). تحاليل العينات الجزئية أجريت على ثلاث مراحل: طبيعية، معالجة بالإيثيلان جليكول ومسخنة عند درجة حرارة 500°C لمدة أربع ساعات (EG,N). فيما يخص العناصر الكيميائية الثانوية فقد تم معايرتها (normalisation) بواسطة الكوندريت (C1).

4 النتائج (Results):

1.4 النتائج المعدنية: بينت الدراسات المعدنية أن المكون الأساسي الناتج عن عملية التجوية في المناجم الثلاثة يتكون: الكاولينيت، الكوارتز و الموسكوفيت (الشكل 2). النسب المئوية للمعادن قد متغيرة؛ الكاولينيت من 20 إلى 78%. الموسكوفيت، من 8 إلى 61%. الكوارتز، من 5 إلى 23%. المعادن الثانوية متمثلة في الفلدسبار البوتاسي والبلاجيوكلاز توجد بنسبة معتبرة في مناجم الشقفة وال حاج علي، وعلى شكل بقايا في بعض عينات منجم تمازيرت. أما معادن السماكتيت (smectites) والكلورايت (chlorite) فهي موجودة بنسبة ضئيلة جداً (<1%) في معظم عينات الكاولينيت.



الشكل 2. أنماط مسحوق XRD للعينات في ثلاثة مواقع التي تمت دراستها، Ch: Chekfa ، Ta: Tamazert ، Ha: Hadj Ali. (Qtz: حاج علي. (Kوارتز: Qtz ، كاولينيت: Kln ، ميسكوفيت: Ms ، طين كلي: Tc ، فلدسيات K ، بلاجيوكلاز (Plg:

Fig 2. Powder XRD patterns of three studied site, Ta: Tamazert; Ch: Chekfa and Ha: Hadj Ali. (Qtz: Quartz, Kln: Kaolinite, Ms: Muscovite, Tc: Total clay, Kfs: K-feldspar, Plg: Plagioclase).

4 النتائج (Results):

نتائج التحليل الكيميائي موضحة في الجدول رقم 1، وتبيّن وجود اختلافات معتبرة ومتواقة مع التركيبة المعدنية في كل العينات. نسبة SiO_2 أكبر من 60% في معظم العينات. Al_2O_3 يتراوح بين 19 و 34%. والسلوك الكيميائي لهذه العناصر يبرز وجود كوارتز حر في ناتج التجوية. وتبلغ نسبة Fe_2O_3 0.26% و MnO 0.77% وهي ضعيفة مقارنة بما هو موجود في الصخرة للألم. أما CaO , P_2O_5 , Na_2O فهي غائبة كلياً نتيجة لعملية الرّشح (lessivage)، مستويات K_2O منخفضة

لأنها مرتتبطة بالأيليت (illite) و / أو المسكوفيت (muscovite) في جميع العينات المدروسة. نسبة K_2O مرتفعة في بعض العينات نتيجة لوجود بقايا الفلدسبار البوتاسي في حالة جيدة (Domingez et Murray, 1999). في العينات المستنفدة تراوح ما بين (1.7 إلى 3.1%) نتيجة انخفاض وفرة المعادن الغنية الفلدسبار البوتاسي في الصخرة الأم (Roualdes, Ronov et al., 1967, 1974, 1974). يتم إثراء TiO_2 بشكل منهجي في منتجات التجوية مقارنة بالصخور الأصلية؛ حيث يرتبط كل من Th و U سلباً، ولوحظ وجود إثراء في Th ونضوب في U في المنتجات المتغيرة في الموضع الثلاثة التي تمت دراستها.

نتائج تحاليل العناصر الثانوية مبينة في الجدول 2. هذه النتائج تبين زيادة نسبة هذه العناصر في ناتج التجوية. نسبة Ba , تتراوح ما بين (ppm430 و ppm169)؛ (Sr) (Sr) < $31ppm$ (Zr) < $208ppm$ (Hf) < $6ppm$ (Zr) < $300ppm$ (Hf) < $97ppm$ (Cr) ، لكن نسبة من (V) و (Cr) منخفضة من (V) (Cr) < $74ppm$ ، (V) (Cr) < $14ppm$ ، (V) (Cr) < $15ppm$ ، (V) (Cr) < $27ppm$ في العينات الأخرى. قد تكون نسبة Cr و (V) العالية (20 ppm) في العينة C1 بسبب تدهور عدسات البيروكسينيت (lentilles de pyroxinites).

نتائج تحاليل العناصر الأرضية الثانوية في الصخرة الأم ومنتجات التجوية في (الجدول 2). تم معايرة هذه القيم مقارنة بقيم الكوندریت CI (McDonough and Sun, 1995) (الشكل 3أ، 3ب، 3ج) تمثل الأطیاف الطبيعیة REE لعينات الكاولین من كل موقع. جميع عينات الكاولین تظهر أطیاف REE مماثلة. تمیز أطیاف LREE بثراء قوي (enrichissement) مقارنة بـ HREE. والعناصر الأرضية النادرة الخفیفة LREE قویة [$(La / Sm)_N < 5.7$] مقارنة بمنحدرات / Tb < 0.3 ($Yb / Eu_N < 0.64$). شذوذ Eu في عينات الكاولین [$Eu/Eu^* < 0.2$] من المحتمل أن الشذوذ السلبي لعنصر Eu في الموضع الثلاثة، يرجع إلى التراث النسبي للعناصر النادرة الأخرى باستثناء Eu بسبب العمليات الثانوية الكبيرة المصاحبة لتدمير معادن البلاجيوكلاز (plagioclases). حقيقة أن الأروبيوم (Eu) لم يتم إثراه خلال هذه العملية مما يوحي بهجرة هذا العنصر (Eu) أثناء عملية التجوية. ويشير الانخفاض في نسبة REE في العينات من موقع تمازيرت، الشّقفة وبعض عينات من الحاج على إلى أن العناصر النادرة الخفیفة LREE لا يتم ثبيتها بشكل مفضل على الطين أثناء عملية التجوية ، وأن العناصر الأرضية النادرة الثقيلة HREE يتم ثراوها بشكل تفضيلي في العينات. في العينات (H1 و H2 و H3) الواقعة أسفل منجم الحاج على، نلاحظ زيادة في نسبة (La / Yb_N) مما يشير إلى تثبيت LREE على هذه العينات أثناء التجوية ; (Ronov et al., 1967 ; Roaldest, 1973 ; Nesbitt, 1979 ; Duddy, 1980, Braun et al., 1990).

من أجل إظهار إعادة التوزيع النّسي للعناصر الثانوية وREE التي تميّز أصل ونشأة نواتج التجوّية، يتم معايرة محتوى كل عنصر من خلال محتواه المقابل له في الصّخرة الأصل. يوضّح الشّكل (4) إثراء أو استنفاد العناصر في منتجات التجوّية في المواقع الثلاثة.

الجدول 1. التركيب الكيميائي للعناصر الرئيسيّة (في %) من ثلاثة مواقع مدرّوسة.

Table 1. Chemical composition of the major elements (in %) of the three studied sites.

		Tamazert										Hadj Ali					
		Chekfa	M	1	2	3	4	5	6	1	2	H3	4	5	1	2	3
SiO ₂		7.4 2	9.00	4.55	3.28	4.51	1.07	8.72	6.28	1.25	4.57	1.40	5.74	5.65	8.40	8.77	
Al ₂ O ₃		1.4 3	6.38	1.39	2.50	1.79	5.60	4.02	0.16	3.6	2.38	3.0	0.72	9.97	0.11	8.60	
Fe ₂ O ₃		.55	.70	.77	.57	.72	.26	.26	.85	.25	.90	.35	.94	.81	.38	.36	
MnO		.00	.00	.00	.00	.00	.00	I.d	.00	.00	.00	.00	.00	.01	.00	.00	
MgO		.17	.42	.46	.33	.39	.23	.22	.69	.72	.63	.72	.62	.22	.34	.35	
CaO		.56	I.d	.16	.05	.04	.05	.03	.08	.39	.09	.19	.16	.58	.03	.04	
Na ₂ O		.28	.04	.56	.23	.24	.09	.07	.23	.46	.37	.04	.91	.31	.12	.33	
K ₂ O		.12	.96	.35	.49	.12	.90	.67	.21	.19	.37	.65	.34	.69	.09	.47	
TiO ₂		.15	.56	.48	.37	.39	.50	.60	.48	.45	.36	.44	.47	.17	.39	.34	
P ₂ O ₅		.23	.07	.04	.06	.04	.05	.04	I.d	I.d	I.d	I.d	.04	.39	.04	.06	
Pf		.86	.74	.42	.57	.93	.76	3.86	.65	.98	.39	.23	.32	.45	.02	.70	
(Ti + Fe)		.70	.26	.25	.94	.11	.76	.86	.33	.7	.26	.79	.41	.98	.77	.70	
(Cr + Nb)		2.5	5.2	2.6	5.5	2.84	5.00	8.4	0.9	8.77	7.04	7.66	9.00	1.1	4.00	5.7	

	3														
(Ba + Sr)	3.00	32.3	67.7	26.5	37.0	02.1	02.8	69.1	29.2	01.4	75.1	97.3	57	39.1	27.1
(Ce + Y + La)	0.6	79.6	64.1	57.5	08.2	81.4	59.3	81.1	68.6	59.6	80.5	04.5	4.5	40.2	65.3
(La/Y b) _N	2.06	5.28	.37	6.62	0.98	.43	4.76	6.03	6.27	5.48	5.08	6.19	0.4	0.2	0.14

I.d: detection limit; Pf: loss on ignition; RM: parent rock

حد الكشف: I.d: الخسارة الناتجة عن الاشتعال , Pf: صخرة الأم, RM:

الجدول 2. تركيز العناصر الثانوية (جزء في المليون) من العناصر في الثلاثة مواقع المدروسة

Table 2. Concentration of traces elements (in ppm) of the three studied sites.

	Tamazert				Hadj Ali				Chekfa						
	M	1	2	3	4	5	6	1	2	3	4	5	1	2	3
Ba	9.0	01	97	30	53	57	69	13	96	75	53	06	42	94	67
Be	.16	.68	.73	.00	.68	.68	.05	.83	.32	.46	.11	.03	.21	.49	.34
Ce	1.1	9.9	2.5	2.5	02	6.6	6.3	06	7.3	4.2	7.6	11	7.3	9.7	.01
Co	.50	0.5	6.5	.91	.84	.71	.79	.36	.30	.34	.21	.70	.75	.07	.95
Cr	2.6	9.1	7.5	5.1	3.4	9.2	9.6	0.0	8.77	7.6	8.03	8.8	.5	4.4	3.5
Cu	6.8	I.d	I.d	I.d	I.d	I.d	I.d	.7	I.d	I.d	I.d	I.d	I.d	0.2	.1
Dy	.99	.05	.91	.48	.77	.02	.72	.47	.03	.36	.66	.11	.33	.05	.46
Er	.97	.08	.03	.52	.49	.35	.37	.24	.93	.87	.05	.62	.20	.00	.13
Eu	.31	.53	.66	.65	.43	.13	.43	.62	.48	.46	.88	.15	.52	.11	.31
Gd	.54	.80	.66	.87	0.7	.83	.11	.87	.23	.39	.43	0.2	.79	.02	.06
Hf															

نشأة رواسب الكاولين المتكوّنة على صخور المتحولّة غير المتجانسة

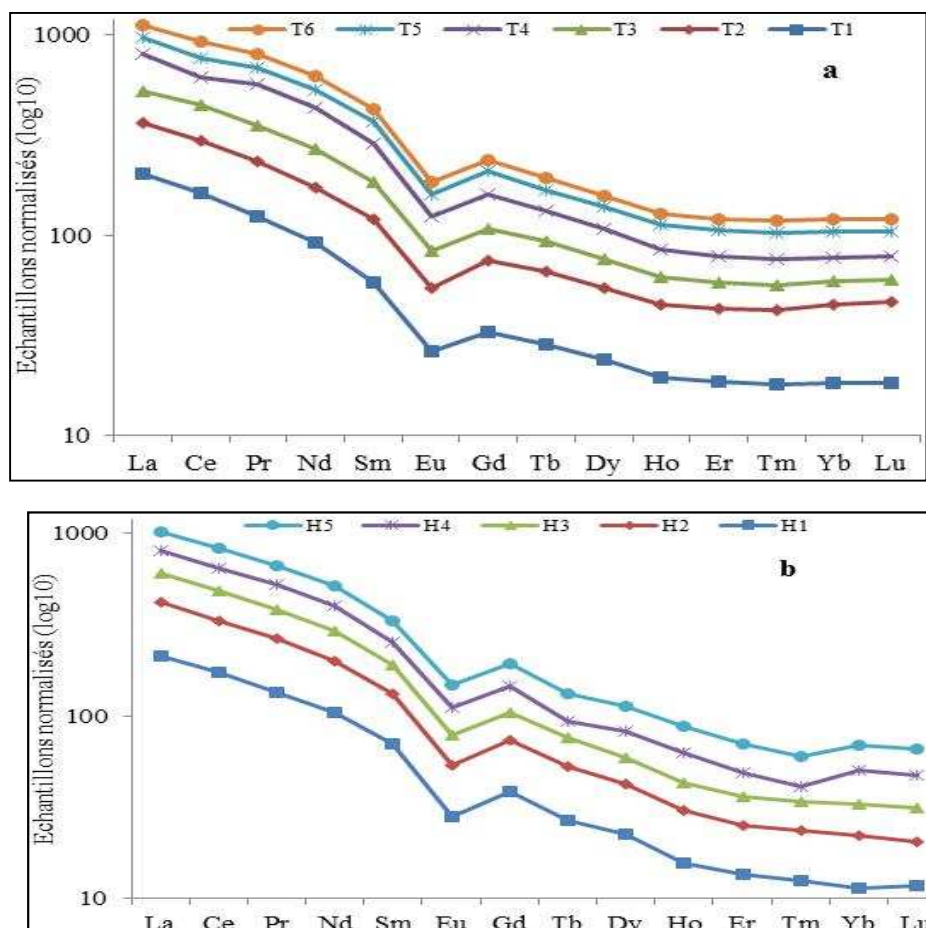
بوقفة مشاطي وآخرون

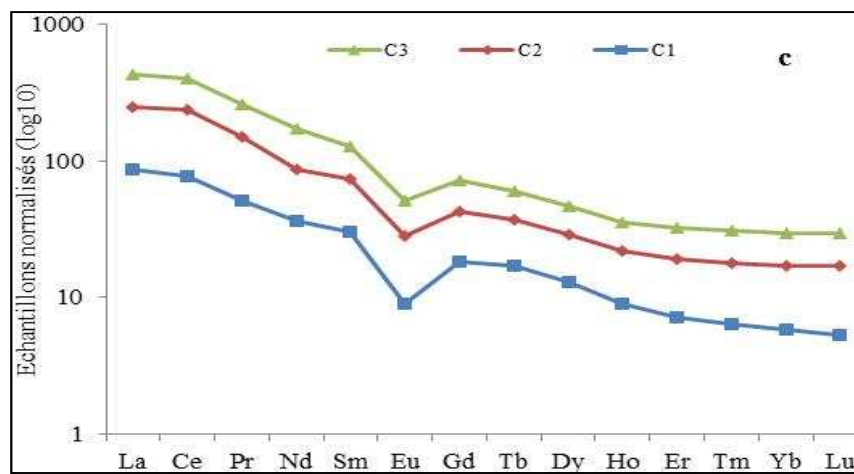
	.96	.14	.11	.21	.00	.10	.95	.25	.87	.41	.76	.25	.49	.58	.95
Ho	.51	.11	.46	.93	.32	.53	.86	.88	.83	.71	.13	.40	.51	.72	.77
La	2.8	8.0	8.1	8.9	6.3	8.7	7.8	0.5	8.6	5.1	6.15	2.0	0.4	8.8	1.9
Lu	.07	.46	.72	.34	.45	.67	.39	.30	.22	.27	.41	.46	.13	.30	.31
Mo	.53	I.d	I.d	I.d	I.d	I.d	.68	.63							
Nb	.93	6.1	5.1	0.4	.44	5.8	8.8	0.9	0.02	.44	.63	0.2	1.6	0.6	2.2
Nd	5.3	2.9	8.8	3.9	6.6	7.7	3.5	9.0	5.12	2.0	0.11	4.2	7.1	3.7	9.6
Ni	.2	.5	.0	.6	I.d	.1	.1	.4	.56	0.3	1.45	.6	.9	.2	.7
Pb	3.9	56	6.1	18	4.9	4.9	0.7	2.2	1.43	0.4	2.93	4.6	4.1	9.2	8.5
Pr	.98	1.9	0.2	1.5	0.8	1.4	1.1	2.9	2.42	1.1	3.32	3.9	.85	.30	0.7
Rb	27	28	11	15	15	1.8	4.8	33	34	36	43	27	83	25	77
Sb	.52	.13	.43	.52	.73	.36	.31	.37	.67	.67	.88	.79	.53	.77	.86
Sm	.75	.88	.69	.90	5.5	2.5	.26	0.7	.63	.82	.57	2.3	.63	.77	.31
Sr	4.0	1.3	0.7	6.5	4.0	5.1	3.8	6.1	3.21	6.4	2.10	1.3	15	5.1	0.1
Ta	.39	.28	.96	.40	.41	.67	.92	.26	.01	.98	.77	.21	.23	.76	.98
Tb	.82	.07	.39	.02	.51	.43	.87	.11	.98	.87	.64	.51	.64	.74	.84
Th	4.9	7.7	6.1	5.3	4.4	7.3	6.3	9.2	9.22	9.7	0.4	0.4	2.6	6.3	4.7
Tm	.11	.46	.61	.35	.51	.70	.38	.31	.28	.26	.18	.49	.16	.29	.32
U	.15	.72	.87	.05	.57	.52	.39	.26	.2	.08	.98	.62	.67	.57	.36
V	.0	5.0	2.9	1.2	1.5	3.7	1.9	7.0	6.93	5.5	5.33	8.2	.1	8.0	5.2
Y															

	6.7	1.7	3.5	6.1	9.9	6.1	5.2	4.6	2.65	0.3	6.7	1.5	6.8	1.7	2.4
Yb	.58	.14	.55	.34	.16	.59	.58	.94	.82	.77	.46	.21	.00	.92	.08
Zr	11	50	08	12	61	97	95	79	54	31	43	66	3.7	76	00
(La/Sm) _N	.40	.93	.92	.27	.09	.08	.71	.04	.13	.82	.22	.40	.73	.04	
(Tb/Yb) _N	.33	.3	.42	.47	.39	.33	.57	.53	.49	.26	.47	.64	.38	.41	
(Eu/Eu*) _N	.19	.18	.2	.18	.19	.19	.18	.18	.19	.2	.19	.12	.19	.18	

(La / Sm) N: slope of normalized light rare earths; (Tb / Yb) N: slope of standardized heavy rare earths.

(La / Sm) N: منحدر العناصر النادرة الخفيفة؛ (Tb / Yb) N: منحدر العناصر النادرة الثقيلة.





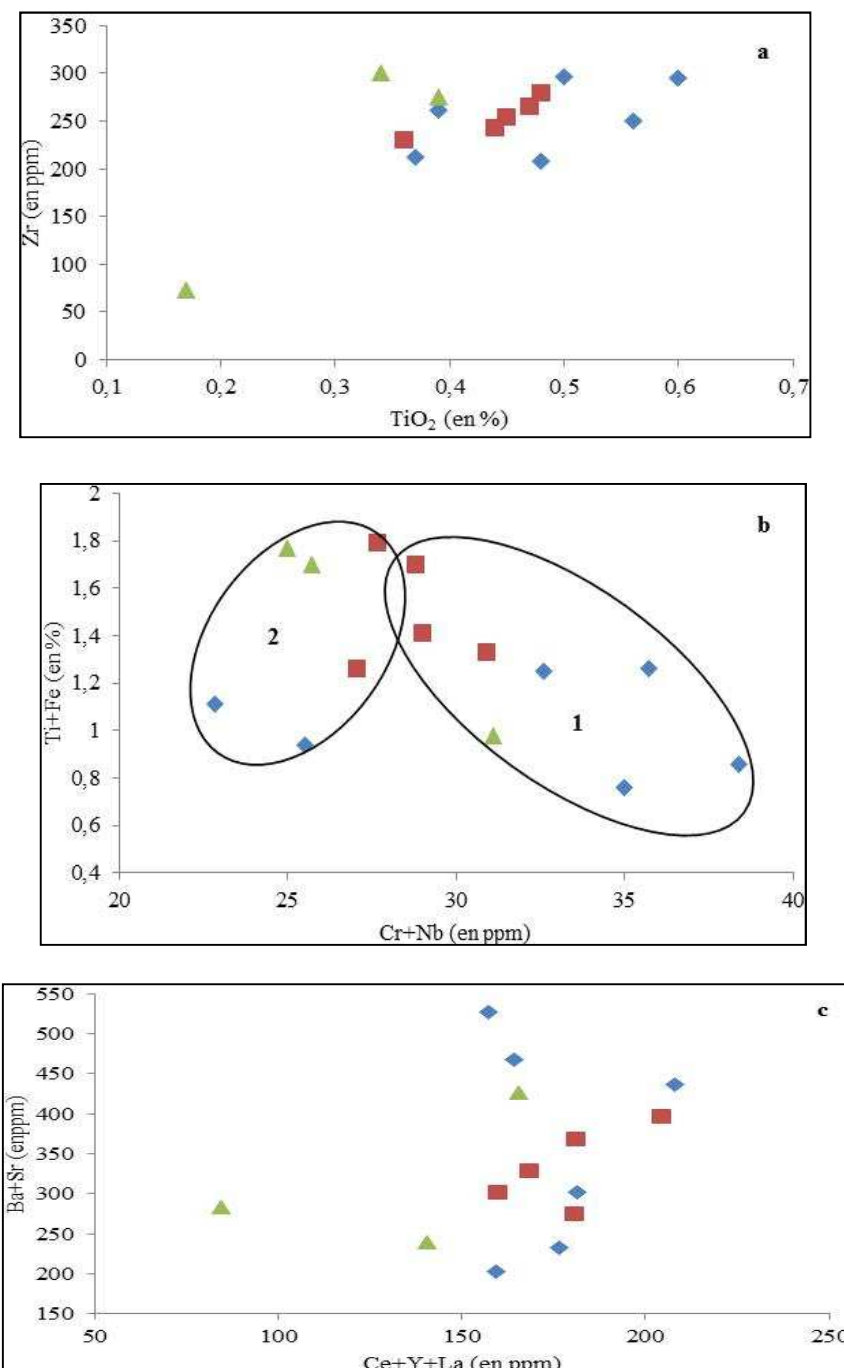
الشكل .3.

أطيااف REE معايرة إلى الكوندريت CI. (أ): موقع تمزيت ، (ب): موقع الشقفة ، (ج): موقع حاج علي.

Fig 3. REE patterns normalized to the chondrite CI. (a): Tamazert site, (b): Chekfa site, (c): Hadj Ali site.

5 المناقشة (Discussion): ناقش عدد من المؤلفين أصل رواسب الكاولن (Cravero et al., 2010 ; Parsapoort et al., 2009 ; Marfil et al., 2005 ; Dill et al., 1997) من التجوية ب المياه الباطنية الساخنة يُظهر ثراء في S و Ba و Sr، بينما يميل Cr و Ti و Nb إلىREE إلى التركيز في الكاولينيت المكون من عمليات التجوية الخارجية (Dill et al., 1997). العناصر الرئيسية لا تعطي أية فكرة عن أصل التجوية. لوحظت عملية إثرااء في Al_2O_3 ، ونقص شديد في العناصر القلوية والقلوية الأرضية. محتويات K_2O و Na_2O مرتفعة في موقع الشقفة والجاج على مقارنة مع تلك الموجودة في تمزيت. ويؤكد وجود بقايا الفلسبار والبلاجيوكلاز (Dominguez et Murray, 1999)، الذي أكده DRX يؤكد هذه الملاحظة. تظهر العناصر الثانوية التوزيع نفسه في نواتج التجوية في الواقع الثلاثة. (Ronov et al., 1967) (Nesbitt.1979) et (Duddy.1980) (Dill et al., 1997) أظهروا أن عناصرREE مجزأة أثناء عملية التجوية مع إثراء LREE في ناتج التجوية مقارنة ب HREE (hypogène) (al., 1997) استخدمو بعض العناصر الثانوية للتمييز بين الأصل الداخلي النشأة (supergène) لظاهرة الكولنة (kaolinisation) والأصل الخارجي النشأة (Zr vs TiO₂) (P₂O₅ : Zr vs TiO₂) : (Ba + Sr vs Ce + Y + La) و (Cr + Nb vs TiO₂ + Fe₂O₃) و (Ba + Sr vs Ce + Y + La) و (Cr + Nb vs TiO₂) و (Ti + Fe) و (Cr + Nb) و (Ti + Fe) و REE في أثناء التجوية الخارجية. أما تركيزات (Zr vs Ti) و (Cr + Nb) و (Ti + Fe) و (Cr + Nb) و (Ti + Fe) و REE و كعارات تمييزية. يتم إثراء Ba و Sr في أثناء التجوية ب المياه الباطنية الساخنة، بينما تتركز عناصر SO₃ و الأصل الخارجي النشأة (supergène) لظاهرة الكولنة (kaolinisation) (Ce + Y + La) و نسبة (Ce + Y + La) و (Ba + Sr) لعينات الكاولين من الواقع الثلاثة (الشكل 4) ولا تظهر اختلافات كبيرة، هذا يشير إلى أن رواسب الكاولين في المناطق الثلاث المدروسة تأتي من نفس العملية الجيولوجية. تشير محتويات (Ti + Fe) و (Sr + Ba) نفس المنشأ (Dill et al., 1997). ومع ذلك، فإن

وجود تركيز عالي من ($\text{Ce} + \text{Y} + \text{La}$) و ($\text{Cr} + \text{Nb}$) في غالبية العينات يشير إلى وجود أصل غالب للتجوية الخارجية للكاولينيت.

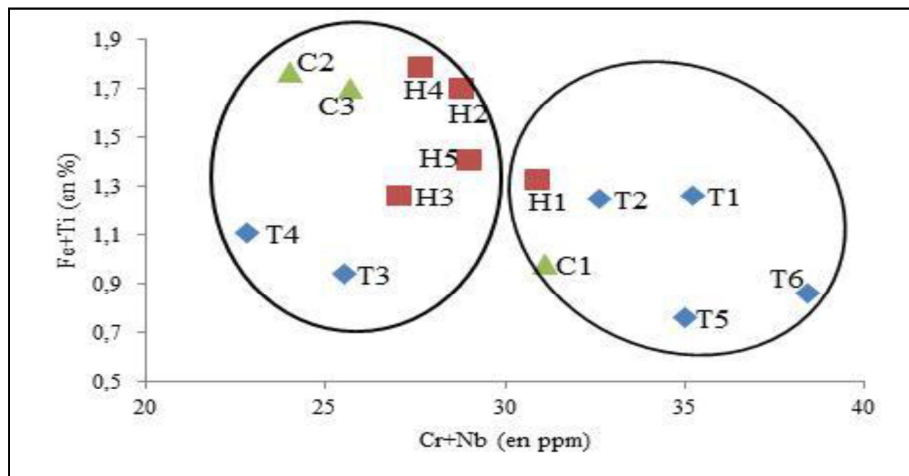


الشكل 4. مخططات توزيع العناصر الثانوية في ثلاثة مواقع تمت دراستها.
▲ عينات تمزيرت، ■ عينات شقفة، ◆ عينات حاج علي.

Fig.4. Distribution diagrams of trace elements in three studied sites

■ Tamazert samples, ▲ Chekfa samples, ◆ Hadj Ali samples

(الشكل 5)، يوضح أن العينات T1 وT2 وT5 وT6 هي من أصل خارجي النّشأة بينما T3 وT4 وجميع عينات الحاج علي هي من أصل مختلط باستثناء H5 العينة ذي أصل سطحي (supergène) العينات من موقع الشّقفة هي من أصل مختلط باستثناء العينة C1 التي لها أصل داخلي النّشأة (hypogène). في الواقع، يمكن إطلاق التيتانيوم من معدن أولي (مثل البيوتيت) من الصّخرة الأم أثناء عملية الكولنة. تم استخدام محتوى Ti في الكاولينيت للتمييز بين العمليتين (Dill et al.1997) لأنّه يتصرف كعنصر ثابت في الظروف السطحية، Zr هو أيضاً مؤشر جيد لدرجة تغير صخور المصدر. يمكن ربط التركيز الأعلى للعناصر (Zr, Cr, V, Rb, Sr, Ba) بحركة منخفضة في أثناء عملية الكولنة (Vidal.1998 Briand et al.1985). نتيجة لذلك، تشير عينات الكاولين ذات المحتوى العالي من Ti إلى بيئة تكون سطحية (Marfil et al.2005). تمت مقارنة بين رواسب الكاولين ذات الأصل الداخلي بالرواسب ذات المنشأ الخارجي (Cravero et al.2010)، في الرواسب الداخلية العناصر S وPb وV وSr وPbO₅ تكون أكثر وفرة، في حين أن Fe₂O₃ وY وRb وU وZr وHREE هي الغالبة في الرواسب الخارجية النّشأة.



الشكل 5. مخطط ثنائي (Cr + Nb) مقابل (Ti + Fe)

Fig.5. Binary diagram (Ti + Fe) vs (Cr + Nb)

6. الخلاصة (Conclusion)

يمكن تلخيص ما توصلنا إليه من خلال دراستنا هذه في مايلي:

نشأت مناجم الكاولين (تمازيرت، الشّقفة والجاج علي) الواقعة في الشمال الشرقي للجزائر في سياق جيولوجي معقد، غير متجانس نتيجة التّحولات التّكتونية والتّقلبات المناخية التي عرفها حوض البحر المتوسط في حقبة الميوسنس (Miocene). هذه العوامل أدت إلى تطور عملية التجوية الكيميائية للصخور الغنية بالفلسبار (Feldspars) إلى تكوين رواسب الكاولين. يظهر التوصيف المعدني لنواتج التّغير للمواقع الثلاثة التي شملتها الدراسة تشابهاً في التركيب المعدني. الكاولينيت والكوارتز والإيليت / المسکوفيت هي المعادن الرئيسية، مرتبطة بالكلوريت والفلدسبارات البوتاسية

والبلاجيوكلاز، لذلك يعتبر هذا الكاولن غير نقي. تختلف نسبة الكاوليinit وفقاً لشدة التجوية في كل موقع. تُظهر الدراسة الجيوكيميائية للعناصر الرئيسية ترشيح العناصر القلوية والقلوية الأرضية باستثناء K التي يتم الاحتفاظ به في منتج التجوية بسبب وجود الإيليت. يتم إثراء غالبية العناصر النادرة في منتج التجوية مقارنة بالصخارة الأم. العناصر الثانوية (U , Cr , Rb , V , Y, Nb , Pb , Zr , Sr) إضافة للعناصر الأرضية النادرة (REE) تجعل من الممكن تحديد أصل نشأة رواسب الكاولين. يُظهر سلوك العناصر الكيميائية أصلاً مختلفاً بين التجوية الخارجية والتجوية بواسطة المياه الباطنية الساخنة، مع أفضلية للتجوية الخارجية. تستكمل هذه الدراسة بإجراء تحاليل النّظائر المستقرة للأكسجين والهيدروجين لتأكيد هذا الأصل.

المراجع (References)

- 1- Bariand, P., Cesbron F & Geffroy J.,(1985). Les minéraux: leurs gisements, leurs associations. Edit. BRGM, France. 490pp.
- 2- Braun, J.J., Pagel M., Herbillon A & Rosin C.,1993. Mobilization and redistribution of Rees and Thorium in syenitic profile-a mass balance study. *Geochim. Cosmochim. Acta*, **57**(18), 4419-4434.
- 3- Braun, J.J., Viers J., Dupre B., Polve M., Ndam J & Muller J.P.,1998. Solid/liquid REE fractionation in the lateritic system of Goyoum, east Cameroon: the implication for the present dynamics of the soil covers of the humid tropical regions. *Geochi. Cosmochim. Acta*, **62**(2), 273-299.
- 4- Banfield, J.F & Eggleton R.A.,(1989). Apatite replacement and rare earth mobilization, fractionation, and fixation during weathering. *Clay Mineral*, **37**, 113-127.
- 5- Bouillin, J.P., 1977. Géologie Alpine de la petite Kabylie dans la région de Collo et d'El Milia (Algérie) *Thèse doctorat, Univ Pet M. Curie*. 511p.
- 6- Boulagne, B & Colin F.,(1994). Rare-earth element mobility during conversion of nepheline syenite into lateritic bauxite at Passa-Quatro, Minais-Gerais, Brazil. *Appl. Geochem*, **9**(6), 701-711.
- 7- Condie, K.C., Dengate J & Cullers R.L.,(1995). Behavior of rare-earth elements in a paleoweathering profile on granodiorite in the front range, Colorado, USA. *Geochim. Cosmochim. Acta* **59**(2), 279-294.
- 8- Caggianelli, A., Fiore S., Mongelli G & Salvemini A.,(1992). Redistribution in the clay fraction of pelites from the southern Apennines, Italy. *Chem. Geol.* **99**(4), 253-263.
- 9- Cravero, F., Marfil S & Maiza P., (2010). Statistical analysis of geochemical data: A tool: to discriminate between kaolin deposits of hypogene and supergen origin. Patagonia, Argentina. *Clay Minerals*, 183-196.
- 10- Dominguez, E & Murray H.H.,(1999). The Lote 8 kaolin deposit, Santa Cruz Province, Argentina.In: Kodama H., Mermut A.R., Torrence J.K. (Eds), Genesis and paper industrial applications. Clay for Our Future. Proc.11th Int. Clay Conf., Ottawa, Canada 1997 ICC97 Organizing Committee, Ottawa, Canada, PP 57-64.
- 11- Duddy, I. R.,(1980). Re-distribution and fractionation of rare earth and other elements in weathering profile. *Chem. Geol.* **30**, 363-381.
- 12- Fagel, N., André L & Debrabant P., 1996. Multiple seawater-derived geochemical signatures in Indian oceanic pelagic clays. *Geochimica et Cosmochimica Acta*, Vol. 61, No. 5, pp. 989-1008, (1997).
- 13- Justin, E. B., 2012. Review of rare earth element concentrations in oil shales of the Eocene Green River Formation. USGS. U.S. Geological Survey, Reston, Virginia: 2012.
- 14- Hill, I.G., Worden R.H & Meighan I.G.,(2000). Yttrium: the immobility-mobility transition during basaltic weathering. *Geology* **28**(10), 923-926.
- 15- Mahdjoub, Y.,(1991). Cinématique des déformations et évolution P, T anté-alpines et alpines en Petite Kabylie (Algérie Nord orientale): un modèle d'évolution du domaine tellien interne. *Thèse-es-Science USTHB*. Alger. 196p.

- 16- Marfil, S.A., Maiza P.J., Cardellach E & Corbella M., (2005). Origin of kaolin deposits in the "Los Menucos", Río Negro Province, Argentina. *Clay Minerals*, **40**, 283-293.
- 17- Marsh, J.S.,(1991). Ree fractionation and Ce anomalies in weathered karoo dolerite. *Chem. Geol.* **90**(3-4), 189-194.
- 18- Mongelli, G.,1993. Ree and other trace elements in a granitic weathering profile from Serre, Southern Italy. *Chem. Geol.* **103** (1-4), 253-273.
- 19- McDonough, W.F., Sun S.S., 1995. The composition of the earth. *Chem. Geol.* **120**, 223-225.
- 20- Nesbitt, H.W., Markovics G. & Price R.C.,(1980). Chemical processes affecting alkalis and alkaline earth during continental weathering. *Geochimica et Cosmochimica Acta*, **44**, 1659-1666.
- 21- Nesbitt, H.W., Young G.M.,1982. Early Proterozoic climate and plate motion inferred from major element chemistry of lutites. *Nature*, **299**, 715-717.
- 22- Nesbitt, H.W., Wilson R. E.,(1992). Recent chemical weathering of basalts. *Am. J. Sci.* **292**(10), 740-777.
- 23- Nesbitt H.W., Makovics G.,(1997). Weathering of granodioritic crust, long-term storage of elements in weathering profiles, and petrogenesis of silicatic sediments. *Geochim. Cosmochim. Acta*, **44**, 1653-1670.
- 24- White, A.F., Blaun A.E.,(1995). Effect of climate on chemical weathering in watersheds. *Geochim. Cosmochim. Acta*, **59**, 1729-1747.
- 25- Windom, H.L.,(1976). Lithogeneous materials in marine sediments. In: *Chemical Oceanography*, vol.5 (eds. J. P Riley and R. Chester). Academic Press, pp. 103-135;
- 26- Parsapoor, A., Kahlili M & Mackinzadeh H.A. (2009). The behaviour of trace and rare earth elements (REE) during hydrothermal alteration in the Rangan area (central Iran). *Journal of Asian Earth Sciences*, **34**, 123-134.
- 27- Price, R.C., Gray C.M., Wilson R.E., Frey F. A & Taylor S.R.,(1991). The effects of weathering on rare-earth element Y and Ba abundances in tertiary basalts from southeastern Australia. *Chem. Geol.* **93**(34è), 245-265.
- 28- Roaldset, E.(1973)., Rare earth elements in quaternary clays of the Numedal area, southern Norway, *Lithos*, **6**, 349-372.
- 29- Ronov, A. B., Balashov Y. A & Migdisov A. A.,(1967). Geochemistry of the rare earths in the sedimentary cycle. *Geochem. Int.* **4**, 1-17.
- 29- Taylor, S.R., McLennan S.M., (1985). The Continental Crust: Its Composition and Evolution. Blackwell.
- 30- Vidal, P.,(1998). Géochimie. Série geosciences. Dunod, Paris. 190 pp.